## 1.3 Darstellung von Allenyliden-Komplexen

Hierbei gibt es mehrere Zugangswege zu Allenyliden-Komplexen:

### 1.3.1 Umwandlung eines Carben- in einen Allenyliden-Liganden

Mit dieser Methode haben E. O. Fischer et al. 1976 die ersten Pentacarbonyl(3dimethylamino-3-phenylallenyliden)chrom- bzw. -wolfram-Komplexe durch Umsetzung von γ-Dimethylaminoalkenyl(ethoxy)carben-Komplexen mit einer Lewis-Säure und schwachen Basen durch 1,2-Eliminierung von EtOH synthetisiert (vgl. Abb. 1-3)<sup>[21]</sup>. Mit Chrom als Zentralmetall konnten durch Variation des Aminosubstituenten noch weitere Allenylidenwerden<sup>[26]</sup>. dargestellt Die Komplexe dieser Art als Edukte verwendeten γ-Dimethylaminoalkenyl(ethoxy)carben-Komplexe ließen sich durch Michael-Addition eines Amins an einen Alkinyl(alkoxy)carben-Komplex erhalten<sup>[27]</sup>.

Abb. 1-3: Darstellung von Amino(phenyl)allenyliden-Komplexen durch 1,2-Eliminierung von EtOH aus  $\gamma$ -Aminoalkenyl(ethoxy)carben-Komplexen.

### 1.3.2 Einführung einer C<sub>3</sub>-Einheit in die Koordinationssphäre eines Metalls

Ein weiterer Zugang zu Allenyliden-Komplexen besteht in der Einführung einer geeigneten C<sub>3</sub>-Einheit. Nach dieser Methode gelang *P. Binger et al.* 1990 die Darstellung von 3,3-Diphenylallenyliden(trimethylphosphan)titanocen, dem ersten Titanallenyliden-Komplex. In dieser Reaktion wird 1,1-Dilithio-3,3-diphenylallen mit Titanocendichlorid und Trimethylphosphan umgesetzt<sup>[28]</sup>.

Abb. 1-4: Darstellung von 3,3-Diphenylallenyliden(trimethylphosphan)titanocen durch Austausch zweier Chloroliganden durch ein Allendianion.

Die heute gebräuchlichste Methode verwendet Alkine als C<sub>3</sub>-Bausteine. *H. Berke* synthetisierte 1976 als erster auf diesem Wege einen Manganallenyliden-Komplex<sup>[22]</sup>. In einer photochemischen Reaktion stellte er durch Abspaltung eines CO-Liganden aus Cymanthren, [CpMn(CO)<sub>3</sub>], und anschließende Anlagerung von Methylpropiolat, HC=CCO<sub>2</sub>Me, an die freie Koordinationsstelle den Alkinkomplex [Cp(CO)<sub>2</sub>Mn(HC=CCO<sub>2</sub>Me)] her. Dieser wurde durch Behandlung mit einem Überschuß von <sup>t</sup>BuLi in ein Alkinylmetallat überführt, das anschließend unter saurer Hydrolyse zum Manganallenyliden-Komplex [Cp(CO)<sub>2</sub>Mn=C=C=C(<sup>t</sup>Bu)<sub>2</sub>] weiter reagierte (vgl. Abb. 1-5). In weiteren Reaktionen dieser Art konnten die Alkinylmetallate auch mit BnLi, <sup>c</sup>HexylLi, <sup>t</sup>BuLi und PhLi dargestellt und mit Phosgen zu Allenyliden-Komplexen umgesetzt werden<sup>[29-33]</sup>.

$$CpMn(CO)_3 + HC = CCO_2Me \xrightarrow{hv} Cp(OC)_2Mn \xrightarrow{C} C$$

Abb. 1-5: Darstellung von Manganallenyliden-Komplexen.

1982 synthetisierte *J. P. Selegue* den kationischen Allenyliden-Komplex [Cp(PMe<sub>3</sub>)<sub>2</sub>Ru=C=C=CPh<sub>2</sub>][PF<sub>6</sub>] aus [Cp(PMe<sub>3</sub>)<sub>2</sub>RuCl] und 1,1-Diphenylpropargylalkohol in Gegenwart von NH<sub>4</sub>[PF<sub>6</sub>]. Hierfür war keine Deprotonierung des Alkins erforderlich.

Desoxygenierende Reagentien wurden ebenfalls nicht benötigt. Zunächst wurde von einer Abspaltung des Chlorids und Bildung eines Alkin-Komplexes ausgegangen. In einem 1,2-H-Shift isomerisierte er zum Vinyliden-Komplex. Anschließende spontane Dehydratisierung generierte den Allenyliden-Komplex<sup>[34]</sup>.

*H. Fischer et al.* stellten 1994 bisarylsubstituierte Chrom- bzw. Wolframallenyliden-Komplexe ausgehend von [(CO)<sub>5</sub>Cr(THF)] bzw. [(CO)<sub>5</sub>W(THF)] dar. Hierbei wurden 1,1-Bisarylpropargylalkohole dilithiiert und anschließend mit [(CO)<sub>5</sub>Cr(THF)] bzw. [(CO)<sub>5</sub>W(THF)] zu Alkinylmetallaten umgesetzt. Die anschließende Desoxygenierung mit Phosgen lieferte die entsprechenden Allenyliden-Komplexe (vgl. Abb. 1-6). In einigen Fällen konnte auf die Lithiierung und Desoxygenierung mit Phosgen verzichtet werden. Hierbei wurde, in Anlehnung an die von *J. P. Selegue* eingeführte Synthese, der Propargylalkohol direkt zugegeben. Die Wasserabspaltung verlief hier jedoch nur unvollständig, konnte jedoch durch Zugabe von DBU vervollständigt werden<sup>[35]</sup>.

$$(CO)_{5}M(THF) \xrightarrow{\text{LiC}\equiv CCR_{2}OLi} \begin{bmatrix} (OC)_{5}M-C\equiv C-C-OLi \\ R \end{bmatrix} \stackrel{\oplus}{} Li^{\oplus}$$

$$\frac{+COCl_{2}}{-CO_{2},-2 \text{ LiCl}} (OC)_{5}M=C=C=C \stackrel{R}{}$$

$$M = Cr$$
,  $W$   
 $R = Ph$ ,  $C_6H_4Me_-p$ ,  $C_6H_4OMe_-p$ ,  $C_6H_4NMe_2-p$ 

Abb. 1-6: Darstellung von Chrom- und Wolframallenyliden-Komplexen, ausgehend von THF-Komplexen und Propargylalkoholen.

*H. Werner et al.* konnten 1993 bei der Synthese neutraler Rhodiumallenyliden-Komplexe sämtliche von *J. P. Selegue* postulierte Zwischenstufen isolieren. Als Primärprodukt der Reaktion von [(P<sup>i</sup>Pr<sub>3</sub>)<sub>2</sub>RhCl]<sub>n</sub> mit 1,1-Diphenylpropargylalkohol wurde zuerst ein Rhodium-π-Alkin-Komplex isoliert, welcher bei leichter Erwärmung in den Vinyliden-Komplex isomerisierte. Mittels Säurekatalyse konnte dieser in den Rhodiumallenyliden-Komplex überführt werden<sup>[36]</sup>.

$$\left[ (P^i Pr_3)_2 RhCI \right]_n \xrightarrow{ HC \equiv CCPh_2OH } (P^i Pr_3)_2 CIRh \xrightarrow{ C \\ C \\ CPh_2OH } 45 \, ^{\circ}C \xrightarrow{ 45 \, ^{\circ}C }$$

$$(P^{i}Pr_{3})_{2}CIRh = C = C + H + H^{+} + H_{2}O + H_$$

Abb. 1-7: Darstellung von [(P<sup>i</sup>Pr<sub>3</sub>)<sub>2</sub>ClRh=C=C=CPh<sub>2</sub>] mit isolierbaren Zwischenstufen.

Mit 3,3,3-Tris(dimethylamino)prop-1-in an Stelle von Propargylalkoholen und deren Derivaten als C<sub>3</sub>-Baustein gelang die Synthese Bis(heteroatom)-substituierter Komplexe. Für die abschließende Abstraktion einer Dimethylamino-Gruppe wurde BF<sub>3</sub>·OEt<sub>2</sub> als Lewis-Säure verwendet<sup>[37]</sup>.

$$(CO)_5M(THF) + LiC = CC(NMe_2)_3 \longrightarrow \left[ (OC)_5M - C = C - C(NMe_2)_3 \right]^{\bigoplus} Li^{\bigoplus}$$

$$\begin{array}{c} & \text{DF}_3 \cdot \text{OEt}_2 \\ \hline & \text{OC})_5 \text{M} = \text{C} = \text{C} \\ & \text{NMe}_2 \end{array}$$

$$M = Cr, W$$

Abb. 1-8: Darstellung von Bis(dimethylamino)allenyliden-Komplexen mit 3,3,3-Tris(dimethylamino)-prop-1-in.

Einige Jahre später konnten durch Verwendung von Propiolsäureamiden als C<sub>3</sub>-Quelle auch Allenyliden-Komplexe mit zwei unterschiedlichen Heteroatom-Substituenten hergestellt werden. Die Reaktion von deprotoniertem Propiolsäureamid mit [(CO)<sub>5</sub>Cr(THF)] bzw. [(CO)<sub>5</sub>W(THF)] lieferte das entsprechende Alkinylmetallat, das anschließend mit Alkyl-Meerweinsalz, [R<sub>3</sub>O][BF<sub>4</sub>], unter Bildung von Allenyliden-Komplexen alkyliert werden konnte (vgl. Abb. 1-9). Diese Route eignet sich auch für die Darstellung von amino(aryl)-

substituierten Allenyliden-Komplexen bei Verwendung von deprotonierten Ethinyliminen als  $C_3$ -Baustein<sup>[38]</sup>.

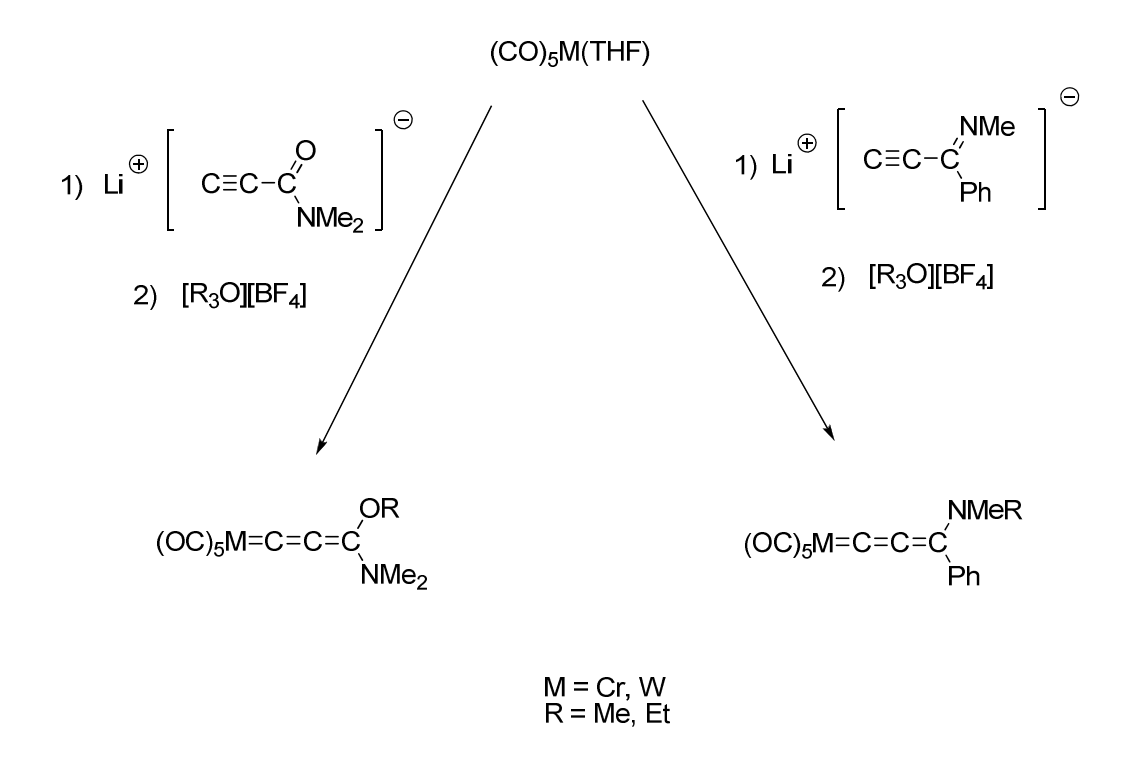


Abb. 1-9: Darstellung von Amino(alkoxy)- und Amino(aryl)allenyliden-Komplexen.

Erst kürzlich gelang die Synthese der ersten stabilen Palladium-Allenyliden-Komplexe. Hierzu wurden zuerst durch oxidative Addition von Halogenalkinen an nullwertiges Tetrakis(triphenylphosphan)palladium Palladium-Alkinyl-Komplexe hergestellt. Deren nachfolgende Behandlung mit Methyltriflat oder Alkylmeerweinsalzen führte zu kationischen Palladiumallenyliden-Komplexen<sup>[39]</sup>.

$$Br-C \equiv C-C \stackrel{\bigcirc}{N}Me_2 \xrightarrow{PPh_3} PPh_3 \stackrel{\bigcirc}{N}Me_2$$

$$= R = Me, Et$$

$$R = Me, Et$$

$$PPh_3 \stackrel{\bigcirc}{N}Me_2$$

$$R = Me, Et$$

Abb.1-10: Darstellung der ersten stabilen Palladiumallenyliden-Komplexe.

## 1.3.3 Addition von Nukleophilen an höhere Metallacumulene

Durch Reaktion von nicht isolierbaren Butatrienyliden-Intermediaten mit Nukleophilen erhielten *M. I. Bruce et al.* 1996 Allenyliden-Komplexe. Durch Umsetzung von [Cp(PPh<sub>3</sub>)<sub>2</sub>Ru(THF)][PF<sub>6</sub>] mit Buta-1,4-diin und einem Nukleophil konnte so ein diphenylaminosubstituierter Rutheniumallenyliden-Komplex erhalten werden. Ein Butatrienyliden-Komplex wurde hierbei als Intermediat postuliert<sup>[40]</sup>.

$$\left[ \text{Cp(Ph}_3\text{P)}_2\text{Ru} = \text{C} = \text{C} = \text{CH}_2 \right]^{\bigoplus} \xrightarrow{+ \text{HNPh}_2} \left[ \text{Cp(Ph}_3\text{P)}_2\text{Ru} = \text{C} = \text{C} = \text{C} \xrightarrow{\text{NPh}_2} \right]^{\bigoplus}$$

Abb. 1-11: Darstellung eines Allenyliden-Komplexes durch Umsetzung eines Butatrienyliden-Komplexes mit Diphenylamin.

Beim Versuch, aus  $[N(CH_2CH_2PPh_2)_3]$ RuCl und 1,1-Diphenylpentadiinol in Gegenwart von Na $[BPh_4]$  einen Pentatetraenyliden-Komplex zu synthetisieren, erhielten *P. H. Dixneuf et al.* schon 1991 einen kationischen Alkenyl(methoxy)allenyliden-Komplex. Hierbei addierte das als Lösungsmittel vorliegende Methanol an das  $C_{\gamma}$ -Atom des als Zwischenprodukt postulierten  $C_5$ -Cumulens $^{[41]}$ . In den folgenden Jahren konnten über diese Syntheseroute

einige neue Alkenyl(alkoxy)- und Alkenyl(amino)allenyliden-Komplexe dargestellt werden<sup>[24, 37, 42-44]</sup>.

[Ru] = [N(CH<sub>2</sub>CH<sub>2</sub>PPh<sub>2</sub>)<sub>3</sub>]Ru

Abb. 1-12: Darstellung eines Alkenyl(alkoxy)allenyliden-Komplexes durch Reaktion eines Pentatetraenyliden-Komplexes mit einem Nukleophil.

# 1.4 Reaktivität von Allenyliden-Komplexen

#### 1.4.1 Allgemeines

Zur Erklärung der Reaktivität von Allenyliden-Komplexen müssen die mesomeren Grenzformen  $\mathbf{A} - \mathbf{D}$  berücksichtigt werden.

$$L_{n}M = C_{\alpha} = C_{\beta} = C_{\gamma} \xrightarrow{R} \qquad \qquad L_{n}M - C = C = C_{R} \xrightarrow{R} \qquad \qquad L_{n}M - C = C - C_{R} \xrightarrow{R} \qquad \qquad D$$

Abb. 1-13: Mesomere Grenzformen von Allenyliden-Komplexen.

Der unpolaren Grenzform A stehen die polaren Resonanzstrukturen B - D gegenüber. Vergleicht man nun die "reine" Cumulenstruktur A mit den Grenzformen B - D, so wird deutlich, dass mit zunehmender elektronischer Wechselwirkung der terminalen Substituenten mit dem Zentralmetall die Bedeutung von C und D erhöht wird. Dies macht sich bei stark elektronenschiebenden Substituenten am  $C_{\gamma}$ -Atom unter anderem in der Abweichung der Länge der beiden C-C-Bindungen von den Erwartungswerten für C=C-Bindungen bemerkbar<sup>[35]</sup>. Der Erwartungswert liegt für eine reine Allen-Bindungslänge C=C=C bei 1.307 Å, für  $C(sp^3)$ -C(sp)-Bindungslänge bei 1.466 Å und für eine C(sp)=C(sp)-Bindungslänge bei 1.192 Å<sup>[45]</sup>.

MO-Rechnungen zeigen, dass für alle berechneten Systeme das HOMO hauptsächlich im Metall-Ligand-Fragment und dem  $C_{\beta}$ -Atom zentriert ist. Zudem liegt die Symmetrie-Ebene des Orbitals koplanar mit der Ebene, welche von der Allenylidenkette und den Substituenten aufgespannt wird. Elektrophile sollten also in dieser Ebene am  $C_{\beta}$ -Atom angreifen.

Im Gegensatz dazu ist das LUMO an  $C_{\alpha}$  und  $C_{\gamma}$  lokalisiert und zwar senkrecht zur Allenyliden-Ebene (vgl. Abb. 1-14). Ein orbitalkontrollierter nukleophiler Angriff sollte somit an  $C_{\alpha}$  oder  $C_{\gamma}$  erfolgen. Die Reaktivität von Allenyliden-Komplexen wird auch durch die Substituenten am  $C_{\gamma}$ -Atom beeinflusst. So nimmt die Reaktivität gegenüber Nukleophilen mit zunehmend e<sup>-</sup>-donierenden Resten am  $C_{\gamma}$ , wie z.B. Aminen, ab, was durch die energetische Anhebung des LUMOs erklärt werden kann<sup>[46, 47]</sup>.

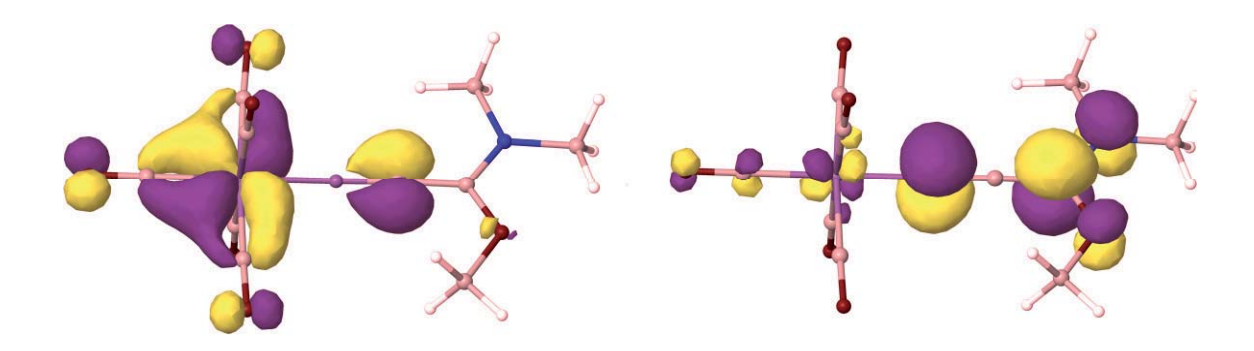


Abb. 1-14: Graphische Darstellung von HOMO (links) und LUMO (rechts) von  $[(CO)_5Cr=C=C=C(NMe_2)OMe].$